

PRESSEMITTEILUNG

November 8, 2022

Mawsons Tochterunternehmen SXG liefert weitere hochgradige Treffer in Sunday Creek, Victoria, Australien

Vancouver, Kanada - **Mawson Gold Limited** ("Mawson" oder das "Unternehmen" - <https://www.commodity-tv.com/ondemand/companies/profil/mawson-gold-ltd/>; (TSX:MAW) (Frankfurt:MXR) (PINKSHEETS: MWSNF) fasst die jüngsten Nachrichten von seiner mehrheitlich in Australien ansässigen Tochtergesellschaft zusammen, **Southern Cross Gold Ltd.** ("SXG"), die vor kurzem weitere Ergebnisse aus vier Bohrlöchern auf dem zu 100 % unternehmenseigenen Grundstück Sunday Creek in Victoria, Australien, bekannt gab. Mawson besitzt 60 % von SXG nach dem Börsengang im Mai 2022 an der Australian Securities Exchange ("ASX").

Höhepunkte:

- **48,9 m @ 3,0 g/t AuEq in 550 m Ausläufer von Apollo** (2,0 g/t Au, 0,64 % Sb) aus 182 m in Bohrloch SDDSC049, am Golden Dyke"-Ausläufer westlich von Apollo, einschließlich
 - **13,7 m @ 9,4 g/t AuEq** (6,6 g/t Au, 1,79 % Sb) aus 201,3 m, einschließlich
 - **2,7 m @ 20,9 g/t AuEq** (10,4 g/t Au, 6,59 % Sb) aus 204,4 m, und
 - **2,3 m @ 27,9 g/t AuEq** (24,7 g/t Au, 2,01 % Sb) aus 211,0 m
- **Breite Mineralisierungszone, gekoppelt mit extrem hohen Gehalten bei Apollo in SDDSC045**
 - **89,5 m @ 1,9 g/t AuEq** (1,8 g/t Au, 0,04 % Sb, kein unterer Schnitt angewendet) aus 97,4 m, einschließlich
 - **0,4 m @ 52,5 g/t AuEq** (52,4 g/t Au, 0,04 % Sb) aus 174,7 m
 - **0,3 m @ 362,6 g/t AuEq** (362,5 g/t Au, 0,04 % Sb) aus 184,3 m
 - **Erstes Bohrloch in NW-SE-Ausrichtung**, das die Kontinuität der hochgradigen Mineralisierung demonstriert und die tatsächliche Mächtigkeit des Apollo-Ausläufers zeigt (bis zu 50 m, mit höheren Gehalten über 20 m - 40 m).
- **Drittes Bohrergerät mobilisiert; SXG bohrt nun in drei Gebieten entlang eines 800 m langen Streichs der bekannten Oberflächenmineralisierung**
 - **Drei Bohrungen befinden sich in der geologischen Bearbeitung und drei Bohrungen sind in Arbeit**
 - **Die tiefste bisher durchgeführte Bohrung**
 - **Von besonderem Interesse ist das Bohrloch SDDSC050, das sich jetzt in einer Tiefe von 770 m befindet** und den Ausläufer der Rising Sun (zwischen Apollo und Golden Dyke) in einer bisher nicht erprobten West-Ost-Ausrichtung erbohren soll.
- **Mawson besitzt 60% von Southern Cross Gold**

Ivan Fairhall, CEO von Mawson, erklärt: "Die herausragenden Bohrerergebnisse von Sunday Creek kommen immer wieder. Die hohen Gehalte bei Apollo halten an und zeigen eine immer größere Kontinuität und Vorhersagbarkeit. Spannenderweise sehen wir nun die neue Zone, die bei Golden Dyke entdeckt wurde, und eine Verstärkung des Entdeckungserfolgs auf dem Grundstück - zuerst beobachtet, als Apollo in die Tiefe erweitert wurde, und nun entlang des Streichs 800 m zu Golden Dyke.

Mawson-Aktionäre profitieren von den Explorationsmöglichkeiten auf mehreren Grundstücken - hier über Mawsons 60 %ige Beteiligung an SXG mit drei Bohrgeräten, die jetzt in Betrieb sind, bei Mawsons Skellefteå (Schweden), wo Mawson 85 % der Anteile erwirbt, und vor allem in Finnland, wo sich nach der jüngsten PEA von Rajapalot, die einen Nettogegenwartswert (NPV5) von 211 Mio. US\$ nach Steuern für die Entdeckung Rajapalot (1 Mio. Unzen AuEq) ergab, weitere Möglichkeiten ergeben. "

Ergebnisse Diskussion

Goldener Deich

Bei den Bohrlöchern SDDSC047 und SDDSC049 handelt es sich um SXGs ersten Bohrtest unter dem produktivsten historischen Bergbaugebiet (Golden Dyke) bei Sunday Creek. Diese Ergebnisse sind äußerst bedeutsam, da sie zeigen, dass auf einer Streichlänge von 700 m mehrere mineralisierte Bereiche existieren, darunter:

- **Golden Dyke**-Bohrloch SDDSC049, über das hier berichtet wird: **48,9 m @ 3,0 g/t AuEq** (2,0 g/t Au, 0,64 % Sb) aus 182 m (kein unterer Schnitt) einschließlich
- **Rising Sun**, Bohrloch SDDSC046, 210 m östlich von SDDSC049: 21,5 m @ 15,0 g/t AuEq (12,2 g/t Au und 1,7 % Sb), und
- **Apollo**, Bohrloch SDDSC033, 550 m östlich von SDDSC049: 119,2 m @ 3,2 g/t Au und 0,4 % Sb (3,9 g/t AuEq).

SDDSC049 wurde 35 m unterhalb der historischen Arbeiten bei Golden Dyke und 160 m unterhalb des flachen historischen Bohrlochs CRC020 **54,0 m @ 1,9 g/t AuEq** (1,5 g/t Au, 0,3 % Sb) aus 0 m gebohrt, einschließlich **3,0 m @ 17,9 g/t AuEq** (16,2 g/t Au und 1,1 % Sb). SDDSC049 durchteufte

- **1,4 m @ 6,8 g/t AuEq** (0,3 g/t Au, 4,09 % Sb) aus 195,8 m, einschließlich
 - **0,4 m @ 22,97 g/t AuEq** (0,7 g/t Au, 14,10% Sb) aus 195,8 m
- **13,7 m @ 9,4 g/t AuEq** (6,6 g/t Au, 1,79 % Sb) aus 201,3 m, einschließlich
 - **2,7 m @ 20,9 g/t AuEq** (10,4 g/t Au, 6,59 % Sb) aus 204,4 m, und
 - **2,3 m @ 27,9 g/t AuEq** (24,7 g/t Au, 2,01 % Sb) aus 211,0 m

Die Bohrung SDDSC047, die 30 m östlich von SDDSC049 niedergebracht wurde und über die hier ebenfalls berichtet wird, weist eine breite Zone mit Arsenanomalien von 177,6 m bis 206 m (28,4 m) auf, mit geringerem Goldgehalt, einschließlich **10.2 m @ 0,9 g/t AuEq** (0,9 g/t Au, 0,01 % Sb) von 192,8 m, einschließlich **0,3 m @ 5,1 g/t AuEq** (5,1 g/t Au, 0,02 % Sb) von 197,8 m, und wird als Beinahe-Fehlschlag betrachtet.

Apollo

Bohrloch SDDSC045 durchschnit eine sehr breite Mineralisierungszone von 97,4 m bis 186,8 m unter dem Bohrloch (**89,5 m @ 1,9 g/t AuEq** (1,8 g/t Au, 0,04 % Sb, kein unterer Schnitt angewandt)) in Verbindung mit extrem hohen Gehalten, einschließlich:

- 7,6 m @ 1,6 g/t AuEq (1,6 g/t Au, 0,01 % Sb) aus 97,4 m
- 1,4 m @ 3,6 g/t AuEq (2,8 g/t Au, 0,56 % Sb) aus 126,8 m, einschließlich
 - 0,3 m @ 8,1 g/t AuEq (7,0 g/t Au, 0,71 % Sb) aus 127,1 m
- 0,3 m @ 5,8 g/t AuEq (4,3 g/t Au, 0,95% Sb) aus 131,3 m
- 11,2 m @ 1,1 g/t AuEq (0,8 g/t Au, 0,14% Sb) aus 154,0 m, einschließlich
 - 0,6 m @ 9,9 g/t AuEq (6,5 g/t Au, 2,17 % Sb) aus 163,4 m
- 8,8 m @ 2,8 g/t AuEq (2,8 g/t Au, 0,01% Sb) aus 168,9 m, einschließlich
 - **0,4 m @ 52,5 g/t AuEq (52,4 g/t Au, 0,04 % Sb) aus 174,7 m**
- **3,8 m @ 28,9 g/t AuEq (28,9 g/t Au, 0,01% Sb) aus 183,0 m**, einschließlich
 - **0,3 m @ 362,6 g/t AuEq (362,5 g/t Au, 0,04 % Sb) aus 184,3 m**

Bohrloch SDDSC042, das 40 m oberhalb von SDDSC045 gebohrt wurde, durchschnit eine sehr breite Mineralisierungszone von 111,9 m bis 146,9 m unterhalb des Bohrlochs (36,1 m @ 1,4 g/t AuEq (1,2 g/t Au, 0,08 % Sb kein unterer Schnitt)):

- 14,0 m @ 1,3 g/t AuEq (1,2 g/t Au, 0,03 % Sb) aus 111,9 m
 - 0,2 m @ 12,3 g/t AuEq (0,9 g/t Au, 7,21 % Sb) aus 137,5 m
- 6,3 m @ 4,7 g/t AuEq (4,1 g/t Au, 0,35% Sb) aus 137,5 m
 - 0,6 m @ 16,6 g/t AuEq (16,4 g/t Au, 0,10 % Sb) aus 143,3 m

Bohrloch SDDSC045 ergab **3,8 m @ 28,9 g/t AuEq** (28,9 g/t Au, 0,01 % Sb) aus 183,0 m, einschließlich **0,3 m @ 362,6 g/t AuEq** (362,5 g/t Au und 0,04 % Sb) und **0,4 m @ 52,5 g/t AuEq** (52,4 g/t Au, 0,04 % Sb) aus 174,7 m.

SDDSC042 ergab **6,3 m @ 4,7 g/t AuEq** (4,1 g/t Au, 0,35 % Sb) auf 137,5 m, einschließlich **0,6 m @ 16,6 g/t AuEq** (16,4 g/t Au, 0,10 % Sb).

Wichtig ist, dass beide Bohrlöcher Teil eines Clusters von hochgradigen Abschnitten innerhalb eines 60 m x 30 m x 30 m großen Gebiets im Apollo-Ausläufer sind (Abbildungen 3 und 4). Diese außergewöhnlich hochgradigen Ergebnisse sind der erste Bohrtest, der in einer NW-SE-Ausrichtung quer durch den nach NNE verlaufenden Apollo-Ausläufer durchgeführt wurde. Sie belegen die Kontinuität der hochgradigen Mineralisierung und zeigen die wahre Mächtigkeit des Apollo-Ausläufers (bis zu 50 m, mit höheren Gehalten auf 20 bis 40 m). Mehrere Bohrlöcher in diesem Gebiet, die in verschiedenen Richtungen gebohrt wurden, weisen nun bedeutende Gehalte und Mächtigkeiten auf

Aktuelles zu den laufenden Bohrungen

SXG verfügt über drei Bohrgeräte, die bei Sunday Creek auf den Grundstücken Golden Dyke, Rising Sun und Apollo bohren. Drei Bohrlöcher (SDDSC048A/51/52) werden derzeit geologisch bearbeitet und analysiert, drei weitere Bohrlöcher (SDDSC050/53/54) befinden sich im Bohrprozess (Abbildung 2).

SXG berichtet, dass das Bohrloch SDDSC050 von besonderem Interesse ist, da es darauf abzielt, den Ausläufer von Rising Sun in einer bisher nicht erprobten West-Ost-Ausrichtung zu bohren. Ein vorläufiges visuelles geologisches Protokoll von SDDSC050 weist darauf hin, dass der Ausläufer von Rising Sun auf etwa 350 m durchteuft wurde, wobei mehrere Mineralisierungszonen zwischen 393 und 763 m vorkommen und in bestimmten begrenzten Zonen sichtbares Gold festgestellt wurde (Fotos 1-3). Dies scheint der mächtigste Abschnitt der Mineralisierung zu sein, der bis dato entdeckt wurde, wobei die Ergebnisse noch ausstehen. Das Bohrloch befindet sich in einer Tiefe von 770 m und ist mit 251 m das tiefste Bohrloch auf dem Projekt (das vorherige tiefste Bohrloch war MDDSC026 mit 519,2 m).

Sunday Creek Übersicht

Die mineralisierten Ausläufer bei Sunday Creek bilden sich am Schnittpunkt der subvertikalen bis flacher einfallenden, um 330 Grad streichenden mineralisierten Adern und einer steilen, in Ost-West-Richtung verlaufenden und nach Norden einfallenden Struktur, die dioritische Erzgänge und damit verbundene intrusive Brekzien beherbergt. Die Dimensionen der einzelnen Triebe werden durch weitere Bohrungen aufgedeckt werden, aber typischerweise:

- In der abwärts gerichteten Ausrichtung (80 Grad in Richtung eines Trends von 020 Grad) zeigen die hohen Gehalte eine lineare Kontinuität bis mindestens 400 m unter der Oberfläche und bleiben offen.
- **20 m bis 30 m** breit in der Up-Dip/Down-Dip-Ausrichtung, kann aber breiter werden (z. B. um SDDSC033), und;
- Eine tatsächliche Mächtigkeit von bis zu 50 m, mit höheren Gehalten zwischen **20 m und 40 m** im Querschnitt des Vorkommens, doch sind weitere Bohrungen erforderlich, um einen genaueren Durchschnittswert zu ermitteln.

Sunday Creek verfügt über einen 10 km langen Mineralisierungstrend, der sich über das Bohrgebiet hinaus erstreckt und durch historische Grubenbaue und Bodenproben definiert ist, bei denen noch keine Explorationsbohrungen durchgeführt wurden. Historische Bohrungen erweitern die Mineralisierung 500 m westlich von Golden Dyke bis zur historischen Mine Christina. Die 10 km in nordöstlicher Richtung umfassen historische Bergbaugebiete bei Leviathan, Consols, Aftermath und Tonal, die alle zu 100 % im Explorationsbesitz von SXG liegen (Abbildung 5).

Die Abbildungen 1 bis 4 zeigen die Lage des Projekts sowie Grundriss-, Längs- und Querschnittsansichten der hier berichteten Bohrergebnisse; die Tabellen 1 bis 3 enthalten Halsband- und Analysedaten. Die tatsächliche Mächtigkeit der mineralisierten Abschnitte wird auf etwa 60 bis 70 % der beprobten Mächtigkeit der hochgradigen Mineralisierung geschätzt. Alle angegebenen Bohrergebnisse weisen einen unteren Schnitt von 0,3 g/t Au auf einer Breite von 3,0 m auf, wobei höhere Gehalte mit einem Schnitt von 5 g/t Au auf 1,0 m gemeldet werden, sofern nicht anders angegeben.

Technischer Hintergrund und qualifizierte Person

Die qualifizierte Person, Michael Hudson, Executive Chairman und Director von Mawson Gold sowie Fellow des Australasian Institute of Mining and Metallurgy, hat den technischen Inhalt dieser Pressemitteilung geprüft, verifiziert und genehmigt.

Die Analyseproben werden zur Einrichtung von On Site Laboratory Services ("On Site") in Bendigo transportiert, die sowohl nach ISO 9001 als auch nach dem NATA-Qualitätssystem arbeitet. Die Proben wurden aufbereitet und mit Hilfe der Brandprobe (PE01S-Methode; 25-Gramm-Charge) auf Gold analysiert, gefolgt von der Messung des Goldes in Lösung mit einem Flammen-AAS-Gerät. Proben für die Multi-Element-Analyse (BM011 und Over-Range-Methoden nach Bedarf) werden mit Königswasser aufgeschlossen und mit ICP-MS analysiert. Das QA/QC-Programm von Southern Cross

Gold besteht aus dem systematischen Einsetzen von zertifizierten Standards mit bekanntem Goldgehalt, Leerproben innerhalb des interpretierten mineralisierten Gesteins und Viertelkernduplikaten. Darüber hinaus werden vor Ort Leerproben und Standards in den Analyseprozess eingefügt.

Das Goldäquivalent "AuEq" für Sunday Creek ist = $Au \text{ (g/t)} + 1,58 \times Sb \text{ (\%)}$, basierend auf angenommenen Goldpreisen von 1.700 US\$/oz Au und Antimonpreisen von 8.500 US\$/Metalltonne und einer Gesamtjahresmetallgewinnung von 93 % für Gold und 95 % für Antimon. In Anbetracht der geologischen Ähnlichkeiten der Projekte wurde diese Formel zur Angleichung an den technischen Bericht der an der TSX notierten [Mandalay Resources Ltd.](#) vom 25. März 2022 über das Projekt Costerfield verwendet, das 54 km von Sunday Creek entfernt liegt und in der Vergangenheit die Mineralisierung des Grundstücks verarbeitet hat.

Zu den bereits gemeldeten Explorationsergebnissen siehe unten:

- [4. Mai 2020](#) CRC020
- [8. März 2022](#) SDDSC021
- [30. Mai 2022](#) SDDSC033
- [4. Oktober 2022](#) SDDSC046

Siehe Mawsons Meldung vom [20. Oktober 2022](#) für eine vollständige Offenlegung der Ergebnisse der PEA von Rajapalot. Die Goldäquivalentgehalte (AuEq) und Unzen für Rajapalot sollen sich an den PEA-Metallpreisen von \$ 1.700/oz Au und \$ 60.000/t Co sowie an der Annahme einer Gewinnung von 95 % Au und 87,6 % Co orientieren ($AuEq_2 = Au \text{ g/t} + Co \text{ ppm} / 988$).

Über Mawson Gold Limited (TSX:MAW, FRANKFURT:MXR, OTC/PINK:MWSNF)

[Mawson Gold Limited](#) ist ein Explorations- und Erschließungsunternehmen. Mawson hat sich mit seinem zu 100 % im Besitz befindlichen Flaggschiff-Gold-Kobalt-Projekt Rajapalot in Finnland und dem Recht, sich in das Goldprojekt Skellefteå North in Schweden einzubringen, als führendes nordarktisches Explorationsunternehmen hervorgerufen. Mawson besitzt auch 60% der Southern Cross Gold Ltd (ASX:SXG), die ihrerseits drei hochgradige, historische, epizonale Goldfelder mit einer Fläche von 470 km² in Victoria, Australien, besitzt oder kontrolliert.

Über Southern Cross Gold Ltd (ASX:SXG)

[Southern Cross Gold](#) besitzt das zu 100 % im Besitz befindliche Sunday Creek Projekt in Victoria und das Mt Isa Projekt in Queensland, die Redcastle und Whroo Joint Ventures in Victoria, Australien, sowie eine strategische 10 %ige Beteiligung an der an der ASX notierten Nagambie Resources Limited (ASX:NAG), die Southern Cross ein Vorkaufsrecht auf ein 3.300 Quadratkilometer großes Grundstückspaket im Besitz von NAG in Victoria gewährt.

Im Namen des Verwaltungsrats,

"Ivan Fairhall"

Ivan Fairhall, Geschäftsführer

Weitere Informationen

www.mawsongold.com

1305 - 1090 West Georgia St., Vancouver, BC, V6E 3V7

Mariana Bermudez (Kanada), Unternehmenssekretärin

+1 (604) 685 9316 info@mawsongold.com

In Europa:

Swiss Resource Capital AG

Jochen Staiger & Marc Ollinger

info@resource-capital.ch

www.resource-capital.ch

Zukunftsgerichtete Aussage

Diese Pressemitteilung enthält zukunftsgerichtete Aussagen oder zukunftsgerichtete Informationen im Sinne der geltenden Wertpapiergesetze (zusammenfassend als "zukunftsgerichtete Aussagen" bezeichnet). Alle hierin enthaltenen Aussagen, mit Ausnahme von Aussagen über historische Fakten, sind zukunftsgerichtete Aussagen. Obwohl Mawson der Ansicht ist, dass solche Aussagen angemessen sind, kann Mawson keine Garantie dafür geben, dass sich diese Erwartungen als richtig erweisen werden. Zukunftsgerichtete Aussagen sind in der Regel durch Wörter wie glauben, erwarten, vorhersehen, beabsichtigen, schätzen, postulieren und ähnliche Ausdrücke gekennzeichnet oder beziehen sich auf zukünftige Ereignisse. Mawson weist Investoren darauf hin, dass zukunftsgerichtete Aussagen keine Garantie für zukünftige Ergebnisse oder Leistungen sind und dass die tatsächlichen Ergebnisse aufgrund verschiedener Faktoren erheblich von jenen abweichen können, die in zukunftsgerichteten Aussagen enthalten sind, einschließlich der Erwartungen von Mawson hinsichtlich seiner Beteiligung an Southern Cross Gold, Kapital- und andere Kosten, die erheblich von den Schätzungen abweichen, Veränderungen auf den Weltmetallmärkten, Veränderungen auf den Aktienmärkten, die potenziellen Auswirkungen von Epidemien, Pandemien oder anderen Krisen des öffentlichen Gesundheitswesens, einschließlich der aktuellen Pandemie, die als COVID-19 bekannt ist, auf das Geschäft des Unternehmens, Risiken im Zusammenhang mit negativer Publicity in Bezug auf das Unternehmen oder die Bergbauindustrie im Allgemeinen; Explorationspotenzial, das konzeptioneller Natur

ist, unzureichende Exploration zur Definition einer Mineralressource auf den australischen Projekten, die sich im Besitz von SXG befinden, und die Ungewissheit, ob weitere Explorationen zur Bestimmung einer Mineralressource führen werden; geplante Bohrprogramme und -ergebnisse, die von den Erwartungen abweichen, Verzögerungen bei der Erzielung von Ergebnissen, Ausrüstungsausfälle, unerwartete geologische Bedingungen, Beziehungen zu den örtlichen Gemeinden, Umgang mit Nichtregierungsorganisationen, Verzögerungen beim Betrieb aufgrund von Genehmigungen, Umwelt- und Sicherheitsrisiken sowie andere Risiken und Ungewissheiten, die unter der Überschrift "Risikofaktoren" in Mawsons jüngstem Jahresbericht, der auf www.sedar.com. Jede zukunftsgerichtete Aussage bezieht sich nur auf das Datum, an dem sie gemacht wird, und Mawson lehnt jede Absicht oder Verpflichtung ab, zukunftsgerichtete Aussagen zu aktualisieren, sei es aufgrund neuer Informationen, zukünftiger Ereignisse oder Ergebnisse oder aus anderen Gründen, es sei denn, dies wird von den geltenden Wertpapiergesetzen verlangt.

Abbildung 1: Lage des Projekts Sunday Creek zusammen mit den anderen Projekten von SXG in Victoria.

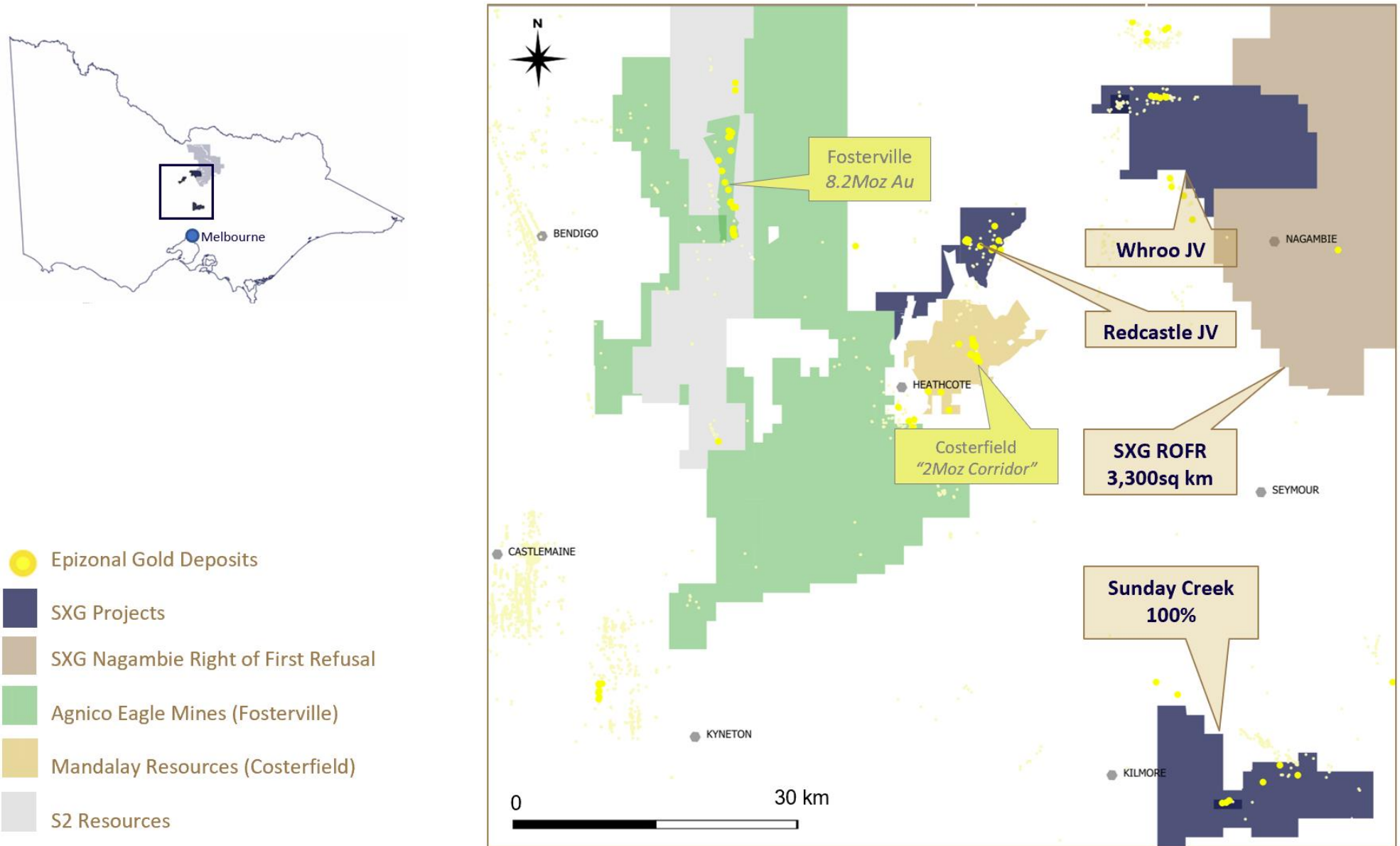


Abbildung 2: Grundriss von Sunday Creek mit den Standorten der Bohrlöcher für die in dieser Pressemitteilung gemeldeten Ergebnisse, die noch ausstehenden Bohrlöcher und ausgewählte frühere Bohrlöcher.

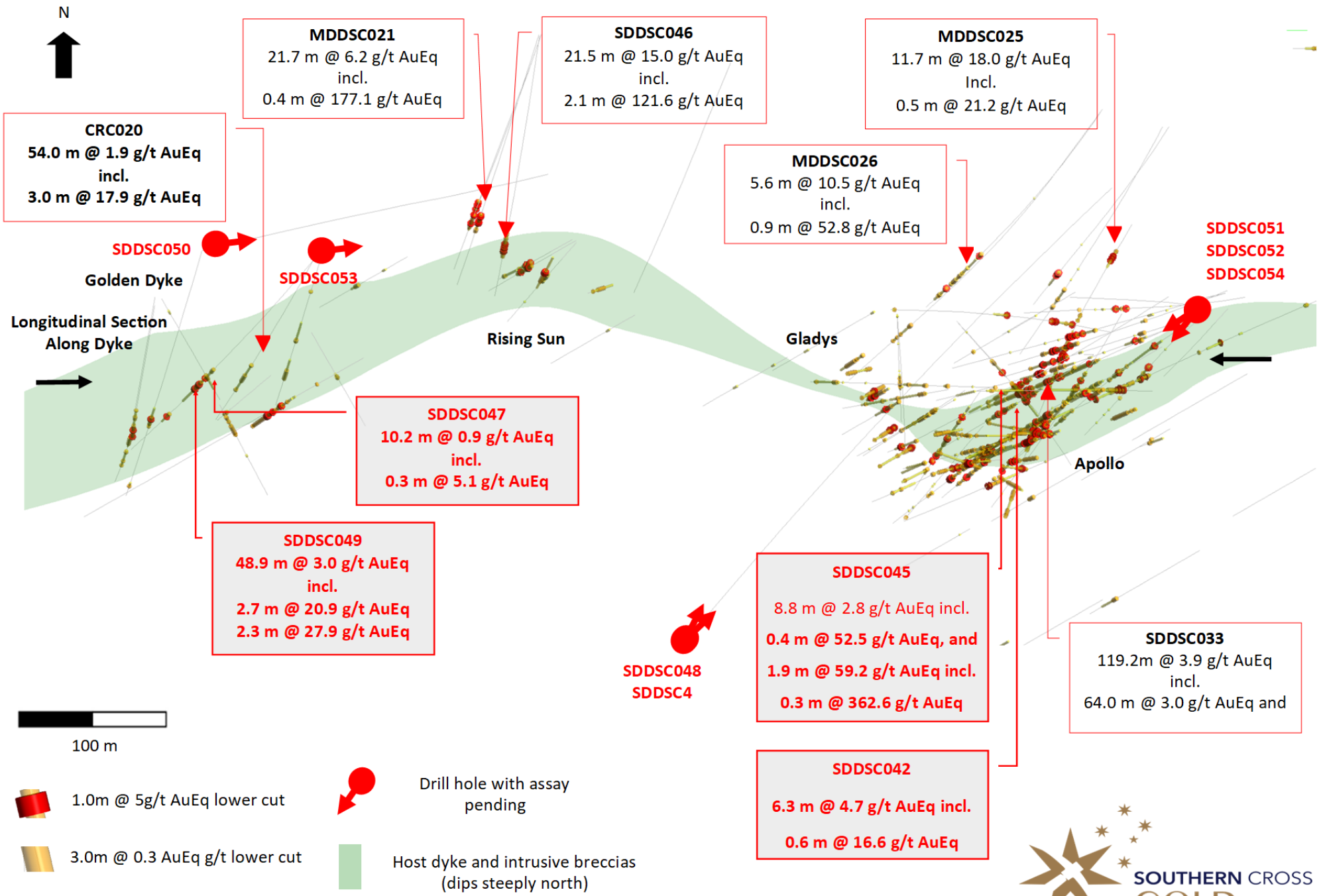


Abbildung 3: Sunday Creek Ost-West-Längsschnitt mit Blick in Richtung 000, entlang des Trends des Deichs/der Struktur mit den einzelnen bisher definierten Ausläufern. Außerdem sind die zuvor gemeldeten Bohrlöcher dargestellt

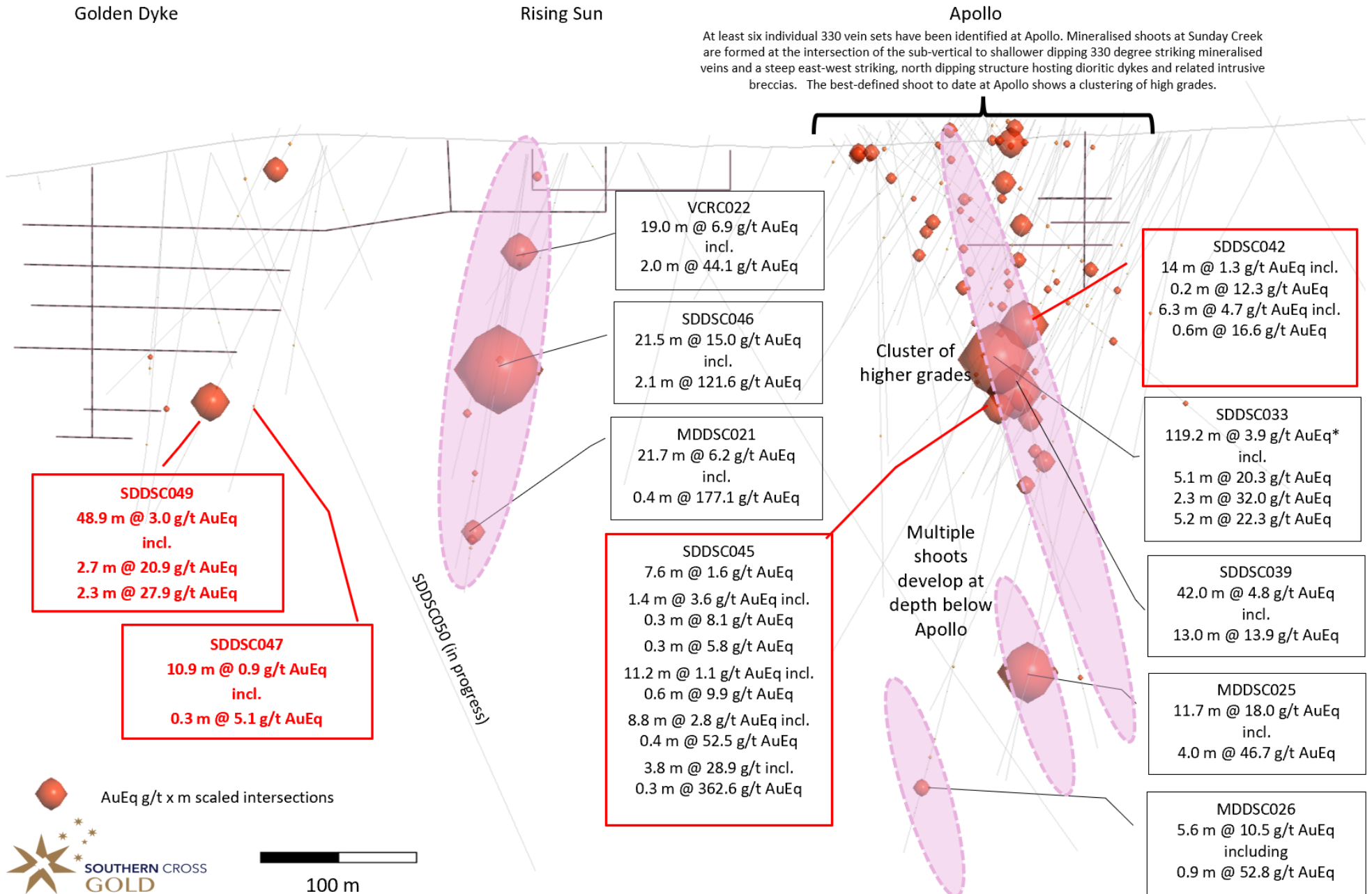


Abbildung 4: Sunday Creek Apollo Querschnitt des Apollo-Hauptstollens mit Blick in Richtung 045 Grad, mit den hier gemeldeten Bohrlöchern SDDSC042/45 und den zuvor gemeldeten Bohrlöchern. (20 m breiter Abschnitt)

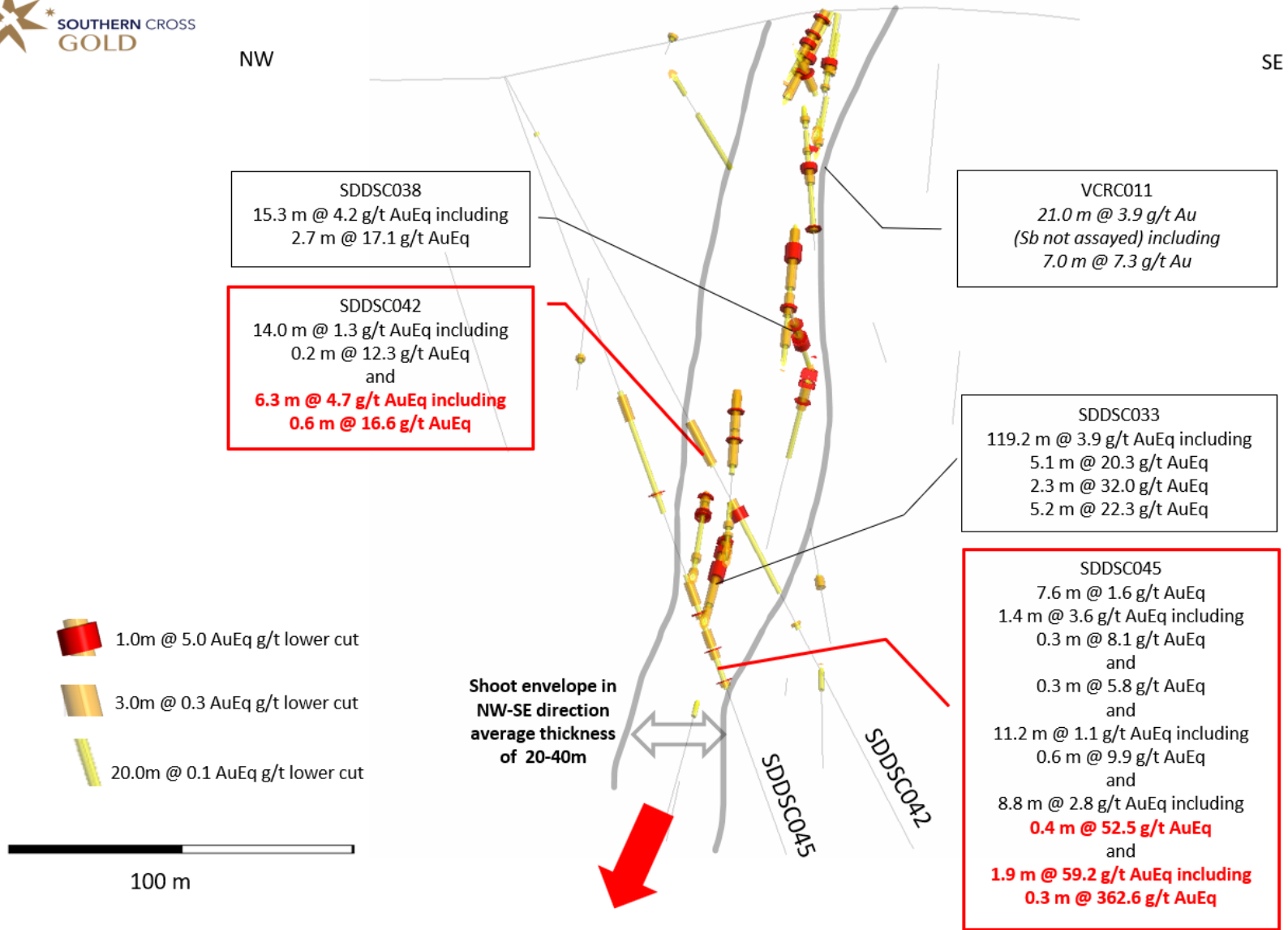


Abbildung 5: Lage des Sunday Creek-Bohrgebiets bei Golden Dyke - Rising Sun -Apollo, das die noch nicht bebohrte 10 km lange Ausdehnung in nordöstlicher Richtung mit historischen Minen und gerasterter Goldgeochemie im Boden zeigt.

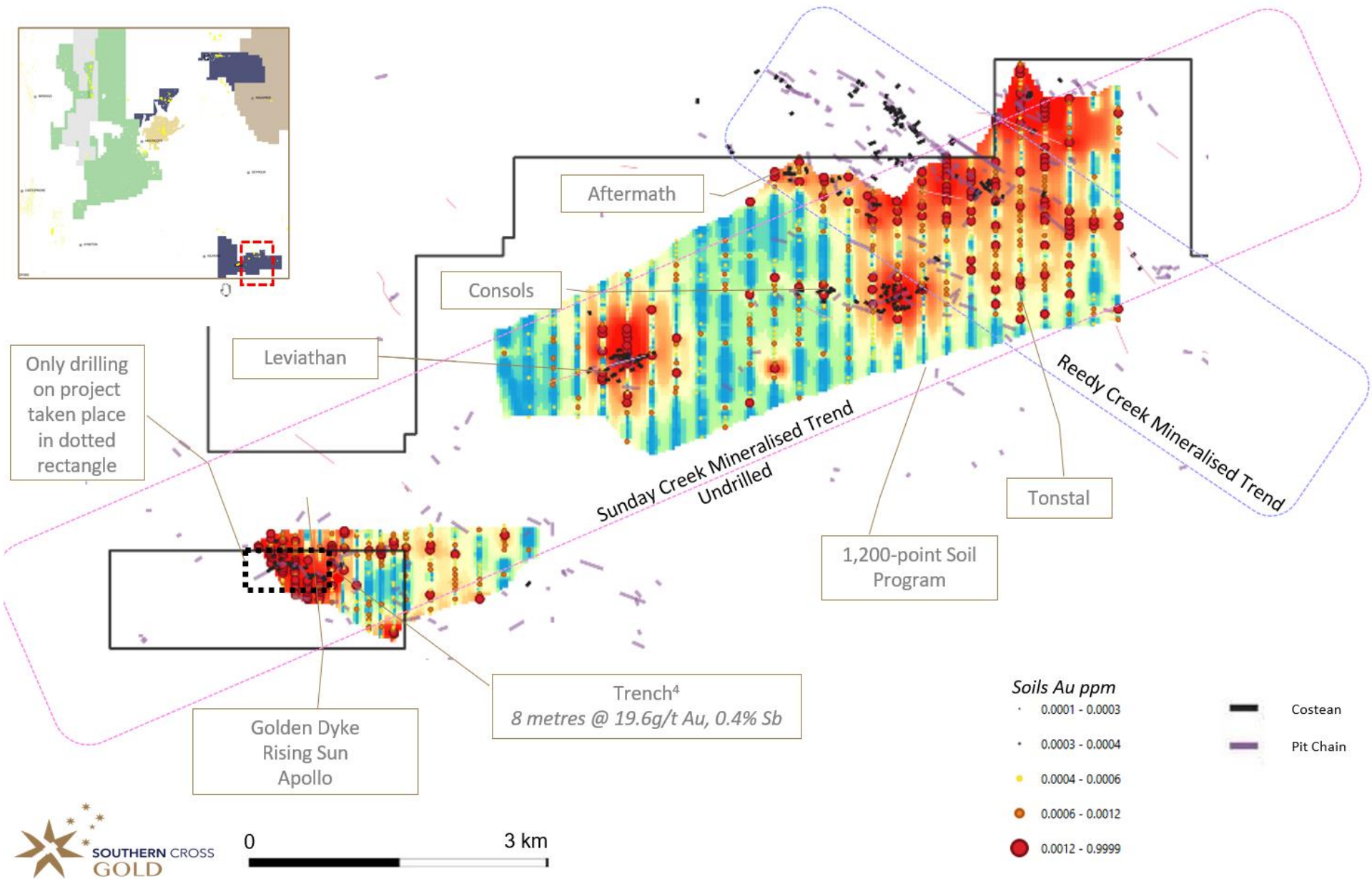


Foto 1: SDDSC049 211,35 m, Sichtfeld 60 mm, zeigt sichtbares Gold in gelben Kreisen in einer Quarz-, Karbonat- und Stibnit-Ader im umgewandelten Metasediment.



Foto 2: SDDSC049 211,9 m, Sichtfeld 20 mm, mit sichtbarem Gold im Quarz.



Foto 3: SDDSC049 212,4 m, Sichtfeld 60 mm, zeigt sichtbares Gold in gelben Kreisen innerhalb einer Quarz-, Karbonat- und Stibnit-Ader mit einem alterierten dioritischen Gang am Rand der Ader.



Tabelle 1: Zusammenfassende Tabelle der Bohrkragen für die in dieser Meldung gemeldeten Bohrlöcher (einschließlich der laufenden Bohrungen).

Bohrung_ID	Größe des Lochs	Tiefe (m)	Aussicht	Osten GDA94_Z55	Norden GDA94_Z55	Erhebungen	Azimut	Eintauchen
SDDSC041	HQ	174.0	Aufgehende Sonne	330776.9	5867890.5	295.4	221.0	-67.0
SDDSC042	HQ	250.5	Apollo	331019.3	5867839.9	299.3	137.5	-61.6
SDDSC043	HQ	323.4	Aufgehende Sonne	330753.0	5868022.7	294.5	198.0	-61.6
SDDSC044	HQ	338.9	Apollo	330977.0	5867847.6	296.7	91.6	-63.9
SDDSC045	HQ	237.3	Apollo	331019.0	5867840.2	299.4	139.0	-69.8
SDDSC046	HQ	240.0	Aufgehende Sonne	330753.4	5868022.0	294.6	188.6	-47.2
SDDSC047	HQ	260.8	Goldener Deich	330613.1	5867886.0	300.0	209.1	-60.7
SDDSC048	HQ	62.6	Apollo	330814.3	5867599.0	295.7	36.8	-49.4
SDDSC048A	HQ	645	Apollo	330814.3	5867599.0	295.7	39.9	-46.4
SDDSC049	HQ	308	Goldener Deich	330615.8	5867886.4	300.2	218.4	-54.6
SDDSC050	HQ	In Arbeit Plan 650 m	Aufgehende Sonne	330538.6	5867885.4	295.5	77	-63.5
SDDSC051	HQ	263.5 m	Apollo	331191.4	5867848	307.4	226.5	-74.5
SDDSC052	HQ	In Arbeit Plan 235 m	Apollo	331191.4	5867848	307.4	246.8	-67.4

Tabelle 2: Tabellen der mineralisierten Bohrlochabschnitte, die in dieser Meldung unter Anwendung von zwei Cutoff-Kriterien gemeldet wurden. Niedrigere Gehalte mit einem Cutoff-Gehalt von 0,3 g/t über maximal 3 m und höhere Gehalte mit einem Cutoff-Gehalt von 5,0 g/t AuEq über maximal 1 m

Bohrloch	Von (m)	Nach (m)	Breite (m)	Au g/t	Sb %	AuEq g/t
SDDSC042	111.9	125.9	14.0	1.2	0.03	1.3
einschließlich	137.5	137.7	0.2	0.9	7.21	12.3
SDDSC042	137.5	143.8	6.3	4.1	0.35	4.7
einschließlich	140.3	143.8	3.5	6.7	0.17	6.9
SDDSC042	167.0	167.5	0.5	0.6	0.00	0.6
SDDSC042	177.0	178.0	1.0	0.5	0.00	0.5
SDDSC045	97.4	105.0	7.6	1.6	0.01	1.6
SDDSC045	126.8	128.1	1.3	2.8	0.56	3.6
einschließlich	127.1	127.4	0.3	7.0	0.71	8.1
SDDSC045	131.3	131.5	0.3	4.3	0.95	5.8
SDDSC045	138.8	139.1	0.3	0.5	0.00	0.5
SDDSC045	154.0	165.2	11.2	0.8	0.14	1.1
einschließlich	163.4	164.0	0.6	6.5	2.17	9.9
SDDSC045	168.9	177.7	8.8	2.8	0.01	2.8
einschließlich	174.7	175.1	0.4	52.4	0.04	52.5
SDDSC045	183.0	186.8	3.8	28.9	0.0	28.9
einschließlich	184.3	184.6	0.3	362.5	0.04	362.6
SDDSC047	177.0	178.6	1.6	0.4	0.02	0.4
SDDSC047	183.2	183.8	0.7	0.3	0.03	0.3
SDDSC047	192.8	203.0	10.2	0.9	0.01	0.9
einschließlich	197.8	198.0	0.3	5.1	0.02	5.1

SDDSC047	215.0	216.9	1.9	0.5	0.00	0.5
SDDSC049	182.0	186.0	4.0	0.4	0.10	0.6
SDDSC049	190.1	191.0	0.9	0.2	0.06	0.3
SDDSC049	195.8	197.2	1.4	0.3	4.09	6.8
einschließlich	195.8	196.2	0.4	0.7	14.10	23.0
SDDSC049	201.3	215.0	13.7	6.6	1.79	9.4
einschließlich	204.4	207.1	2.7	10.4	6.59	20.9
einschließlich	211.0	213.3	2.3	24.7	2.01	27.9
SDDSC049	218.4	219.3	0.9	1.5	0.13	1.7
SDDSC049	251.0	252.0	1.0	3.9	0.02	3.9
SDDSC049	255.6	256.0	0.4	2.0	3.85	8.1
einschließlich	255.6	256.0	0.4	2.0	3.85	8.1

Tabelle 3: Alle in dieser Meldung gemeldeten Einzelproben von SDDSC042/45/47/49 >0,1g/t AuEq.

Bohrloch	Von (m)	Nach (m)	Breite (m)	Au g/t	Sb %	AuEq g/t
SDDSC042	18.0	19.0	1.0	0.1	0.00	0.1
SDDSC042	111.9	113.0	1.1	1.4	0.00	1.4
SDDSC042	113.0	114.0	1.0	2.0	0.00	2.0
SDDSC042	114.0	115.1	1.1	0.8	0.00	0.8
SDDSC042	115.1	116.2	1.1	0.6	0.01	0.6
SDDSC042	116.2	117.0	0.8	1.6	0.02	1.6
SDDSC042	117.0	117.9	0.9	2.7	0.11	2.9
SDDSC042	117.9	118.7	0.8	0.6	0.14	0.8
SDDSC042	118.7	119.0	0.3	0.3	0.02	0.3
SDDSC042	119.0	120.4	1.3	0.7	0.01	0.7
SDDSC042	120.4	120.9	0.6	3.4	0.01	3.4
SDDSC042	120.9	122.0	1.1	1.0	0.02	1.1
SDDSC042	122.0	123.2	1.2	0.3	0.02	0.3
SDDSC042	123.2	123.9	0.7	0.3	0.02	0.3
SDDSC042	123.9	124.8	0.9	1.9	0.08	2.0
SDDSC042	124.8	125.5	0.7	1.5	0.02	1.5
SDDSC042	125.5	125.9	0.3	1.9	0.29	2.4
SDDSC042	125.9	126.5	0.6	0.3	0.00	0.3
SDDSC042	137.5	137.7	0.2	0.9	7.21	12.3
SDDSC042	137.7	139.0	1.3	0.7	0.12	0.9
SDDSC042	139.0	140.3	1.4	1.3	0.03	1.3
SDDSC042	140.3	140.9	0.6	5.0	0.22	5.3
SDDSC042	140.9	141.2	0.3	2.2	0.04	2.3
SDDSC042	141.2	142.0	0.8	5.8	0.08	5.9
SDDSC042	142.0	143.3	1.3	4.9	0.26	5.3
SDDSC042	143.3	143.8	0.6	16.4	0.10	16.5
SDDSC042	143.8	144.9	1.0	0.3	0.01	0.3

SDDSC042	144.9	145.6	0.8	0.2	0.00	0.2
SDDSC042	145.6	146.1	0.5	0.1	0.00	0.1
SDDSC042	146.1	146.9	0.8	0.1	0.00	0.1
SDDSC042	146.9	148.0	1.1	0.1	0.00	0.1
SDDSC042	167.0	167.5	0.5	0.6	0.00	0.6
SDDSC042	177.0	178.0	1.0	0.5	0.00	0.5
SDDSC042	178.0	179.2	1.2	0.2	0.00	0.2
SDDSC045	96.0	97.4	1.3	0.1	0.00	0.1
SDDSC045	97.4	98.0	0.7	0.6	0.00	0.6
SDDSC045	98.0	99.3	1.3	1.6	0.01	1.6
SDDSC045	99.3	100.5	1.2	1.2	0.01	1.3
SDDSC045	100.5	101.0	0.5	0.4	0.00	0.4
SDDSC045	101.0	102.0	1.0	1.4	0.01	1.4
SDDSC045	102.0	103.0	1.0	2.0	0.01	2.1
SDDSC045	103.0	103.4	0.4	3.8	0.01	3.8
SDDSC045	103.4	104.0	0.6	2.5	0.01	2.5
SDDSC045	104.0	104.5	0.5	3.4	0.01	3.4
SDDSC045	104.5	105.0	0.5	0.4	0.02	0.4
SDDSC045	105.0	105.5	0.5	0.1	0.02	0.2
SDDSC045	107.0	108.1	1.1	0.1	0.02	0.1
SDDSC045	109.1	110.0	1.0	0.1	0.01	0.1
SDDSC045	110.0	110.8	0.8	0.2	0.01	0.2
SDDSC045	125.0	126.4	1.3	0.2	0.01	0.2
SDDSC045	126.4	126.8	0.4	0.2	0.02	0.3
SDDSC045	126.8	127.1	0.3	2.1	0.55	2.9
SDDSC045	127.1	127.4	0.3	7.0	0.71	8.1
SDDSC045	127.4	128.1	0.7	1.3	0.50	2.1
SDDSC045	130.4	130.8	0.4	0.2	0.01	0.2
SDDSC045	131.3	131.5	0.3	4.3	0.95	5.8
SDDSC045	131.5	132.6	1.1	0.1	0.01	0.1
SDDSC045	132.6	133.2	0.6	0.1	0.01	0.1
SDDSC045	134.8	135.1	0.3	0.1	0.00	0.1
SDDSC045	136.1	136.5	0.4	0.2	0.01	0.2
SDDSC045	138.8	139.1	0.3	0.5	0.00	0.5
SDDSC045	141.2	141.7	0.5	0.2	0.01	0.2
SDDSC045	151.9	152.9	1.0	0.2	0.00	0.2
SDDSC045	154.0	154.8	0.8	1.0	0.00	1.0
SDDSC045	154.8	155.2	0.4	0.1	0.00	0.1
SDDSC045	155.2	155.6	0.4	0.4	0.01	0.4
SDDSC045	155.6	156.1	0.5	0.5	0.01	0.5
SDDSC045	156.1	156.4	0.3	2.7	0.69	3.8
SDDSC045	156.4	157.3	1.0	0.2	0.01	0.2
SDDSC045	157.3	158.0	0.7	0.6	0.01	0.6
SDDSC045	158.0	159.0	1.0	0.3	0.00	0.3

SDDSC045	159.0	160.0	1.0	0.2	0.00	0.2
SDDSC045	160.0	161.2	1.2	0.4	0.00	0.4
SDDSC045	163.4	164.0	0.6	6.5	2.17	9.9
SDDSC045	164.0	164.4	0.3	3.9	0.05	4.0
SDDSC045	164.4	165.2	0.8	0.5	0.01	0.6
SDDSC045	168.0	168.9	1.0	0.2	0.01	0.2
SDDSC045	168.9	170.4	1.5	0.3	0.01	0.3
SDDSC045	171.1	171.4	0.3	1.7	0.00	1.7
SDDSC045	173.5	173.9	0.4	1.2	0.02	1.2
SDDSC045	173.9	174.1	0.3	0.5	0.01	0.5
SDDSC045	174.7	175.1	0.4	52.4	0.04	52.5
SDDSC045	175.1	175.4	0.3	2.6	0.02	2.6
SDDSC045	175.4	176.5	1.0	0.2	0.01	0.2
SDDSC045	176.5	177.2	0.8	0.2	0.01	0.2
SDDSC045	177.2	177.7	0.5	0.7	0.00	0.7
SDDSC045	177.7	178.2	0.5	0.3	0.00	0.3
SDDSC045	183.0	184.3	1.3	0.1	0.01	0.1
SDDSC045	184.3	184.6	0.3	362.5	0.04	362.6
SDDSC045	184.6	185.0	0.4	0.5	0.01	0.5
SDDSC045	185.0	185.3	0.3	0.6	0.06	0.7
SDDSC045	185.3	186.1	0.8	0.3	0.01	0.3
SDDSC045	186.1	186.8	0.7	0.1	0.00	0.1
SDDSC045	186.1	186.8	0.7	0.1	0.00	0.1
SDDSC047	177.0	177.6	0.6	0.4	0.00	0.4
SDDSC047	177.6	178.6	1.0	0.3	0.02	0.3
SDDSC047	180.0	180.6	0.6	0.1	0.05	0.1
SDDSC047	181.5	182.3	0.8	0.1	0.01	0.1
SDDSC047	182.3	183.2	0.8	0.1	0.06	0.2
SDDSC047	183.2	183.8	0.7	0.3	0.03	0.3
SDDSC047	184.6	185.7	1.1	0.0	0.02	0.1
SDDSC047	185.7	186.6	0.9	0.1	0.01	0.1
SDDSC047	186.6	188.0	1.4	0.1	0.00	0.1
SDDSC047	189.8	191.0	1.2	0.1	0.00	0.1
SDDSC047	191.0	191.9	0.8	0.1	0.01	0.1
SDDSC047	191.9	192.8	1.0	0.3	0.00	0.3
SDDSC047	192.8	193.6	0.8	1.4	0.01	1.4
SDDSC047	193.6	194.0	0.4	1.0	0.00	1.0
SDDSC047	194.0	194.5	0.6	1.3	0.01	1.3
SDDSC047	194.5	195.4	0.9	0.7	0.01	0.7
SDDSC047	195.4	196.4	0.9	1.7	0.01	1.7
SDDSC047	196.4	196.7	0.3	0.6	0.00	0.6
SDDSC047	196.7	197.1	0.4	0.2	0.01	0.2
SDDSC047	197.1	197.8	0.7	0.4	0.01	0.4
SDDSC047	197.8	198.0	0.3	5.1	0.02	5.1

SDDSC047	198.0	198.6	0.6	0.1	0.01	0.1
SDDSC047	198.6	199.6	1.0	1.3	0.01	1.3
SDDSC047	199.6	200.8	1.2	0.8	0.01	0.8
SDDSC047	200.8	201.3	0.5	0.4	0.00	0.4
SDDSC047	201.3	202.0	0.7	0.6	0.00	0.6
SDDSC047	202.0	203.0	1.0	0.4	0.00	0.4
SDDSC047	203.0	204.1	1.1	0.2	0.00	0.2
SDDSC047	204.1	205.0	0.9	0.1	0.00	0.1
SDDSC047	205.0	206.0	1.0	0.0	0.02	0.1
SDDSC047	211.0	212.0	1.0	0.1	0.00	0.1
SDDSC047	215.0	216.3	1.3	0.5	0.00	0.5
SDDSC047	216.3	216.9	0.7	0.4	0.01	0.4
SDDSC047	217.3	218.0	0.7	0.1	0.00	0.1
SDDSC049	182.0	183.0	1.0	0.5	0.00	0.5
SDDSC049	184.0	185.0	1.0	0.5	0.01	0.5
SDDSC049	185.0	186.0	1.0	0.8	0.39	1.4
SDDSC049	187.0	188.0	1.0	0.1	0.04	0.2
SDDSC049	190.1	191.0	0.9	0.2	0.06	0.3
SDDSC049	192.0	192.9	0.9	0.1	0.01	0.1
SDDSC049	194.1	195.3	1.2	0.0	0.03	0.1
SDDSC049	195.8	196.2	0.4	0.7	14.10	23.0
SDDSC049	196.2	196.5	0.3	0.0	0.22	0.4
SDDSC049	196.5	196.9	0.4	0.2	0.03	0.3
SDDSC049	196.9	197.2	0.3	0.3	0.05	0.4
SDDSC049	197.2	197.6	0.4	0.1	0.01	0.1
SDDSC049	197.6	198.0	0.4	0.1	0.01	0.1
SDDSC049	199.0	200.4	1.4	0.1	0.00	0.1
SDDSC049	200.4	201.3	0.9	0.1	0.01	0.1
SDDSC049	201.3	202.0	0.7	0.4	0.07	0.5
SDDSC049	202.0	203.0	1.0	0.1	0.02	0.2
SDDSC049	203.0	204.0	1.0	0.3	0.01	0.3
SDDSC049	204.0	204.4	0.4	0.1	0.01	0.2
SDDSC049	204.4	204.7	0.3	34.0	2.67	38.2
SDDSC049	204.7	206.1	1.4	11.7	9.56	26.8
SDDSC049	206.1	206.5	0.4	1.6	5.66	10.5
SDDSC049	206.5	207.1	0.6	1.6	2.24	5.1
SDDSC049	207.1	208.1	1.0	0.2	0.08	0.3
SDDSC049	208.1	208.8	0.7	1.0	0.78	2.2
SDDSC049	208.8	209.7	0.9	0.3	0.04	0.4
SDDSC049	209.7	210.3	0.6	2.0	0.06	2.1
SDDSC049	210.3	210.8	0.4	1.3	0.48	2.0
SDDSC049	210.8	211.0	0.3	0.4	1.59	3.0
SDDSC049	211.0	211.8	0.8	30.2	4.29	37.0
SDDSC049	211.8	212.4	0.6	27.6	0.39	28.2

SDDSC049	212.4	213.3	0.9	17.8	1.07	19.5
SDDSC049	213.3	214.0	0.7	1.3	0.88	2.7
SDDSC049	214.0	215.0	1.0	0.7	0.08	0.8
SDDSC049	215.0	216.0	1.0	0.2	0.03	0.2
SDDSC049	216.0	217.0	1.0	0.1	0.00	0.1
SDDSC049	218.4	219.3	0.9	1.5	0.13	1.7
SDDSC049	219.3	220.3	1.0	0.1	0.02	0.2
SDDSC049	223.1	224.2	1.1	0.1	0.00	0.1
SDDSC049	224.2	225.0	0.8	0.0	0.05	0.1
SDDSC049	225.0	225.7	0.7	0.0	0.08	0.1
SDDSC049	226.3	226.8	0.5	0.0	0.02	0.1
SDDSC049	226.8	227.8	1.0	0.0	0.12	0.2
SDDSC049	227.8	228.9	1.1	0.1	0.01	0.1
SDDSC049	229.9	230.9	1.0	0.1	0.03	0.1
SDDSC049	251.0	252.0	1.0	3.9	0.02	3.9
SDDSC049	255.0	255.6	0.6	0.0	0.02	0.1
SDDSC049	255.6	256.0	0.4	2.0	3.85	8.1
SDDSC049	256.0	257.0	1.0	0.0	0.14	0.2
SDDSC049	257.0	258.0	1.0	0.1	0.01	0.1
SDDSC049	262.6	262.9	0.3	0.0	0.09	0.2